行纠正效果的系统评价[J]. 中国询证医学杂志,2013,13(6): 735—740

- [11] 李红星,岳国荣,刘东坡,等. 电针结合康复训练治疗脑卒中 后足下垂30例[J]. 云南中医中药杂志, 2011,6(32):70—71.
- [12] 马达,楚海波.针刺结合康复技术对脑卒中后足下垂患者步行 能力的治疗观察[J]. 中医临床研究, 2011,3(21):72-73.
- [13] 孙丽,谢瑛,李广庆,等. 肌电生物反馈辅助步行训练对脑卒 中后亚急性期足下垂患者下肢运动功能的影响[J]. 中华物理 医学与康复杂志,2012,34(2):116—119.
- [14] 郭英杰,程杨,丁华,等.表面肌电生物反馈训练在脑卒中足下 垂患者功能训练中的应用[J].中国康复医学杂志,2010,25(10):
- [15] 任力杰,韩漫夫,白润涛,等.A型肉毒素治疗卒中患者痉挛性

- 足下垂和足内翻的研究[J].中国实用神经疾病杂志,2008,11(7):
- [16] 罗予,卞荣,孟殿怀,等.功能性电刺激联合康复训练治疗脑卒 中[J].中国康复,2012,27(6):414-415.
- [17] 刘翠华,张盘德,容小川,等.步态诱发功能性电刺激对脑卒中 足下垂患者的疗效观察[J].中国康复医学杂志,2011,26(12): 1136—1139
- [18] 谢瑞娟,石翠霞,邓漆,等.起立床强化运动疗法治疗脑卒中偏 瘫后足内翻 60 例疗效[J].中国老年学杂志,2014,34(1):228—
- [19] 牟晓春,王丹,洪秀宇. 弹力绷带对脑卒中患者步行功能膝反 张的影响[J].浙江创伤外科,2013,3(18):410—411.

• 病例报告•

基底核生殖细胞瘤致肌张力障碍的肉毒毒素注射治疗个案报告

叶 晔1 廖志平1

基底核区生殖细胞瘤(basal ganglia germinoma, BGG) 是一种非常少见的颅内恶性肿瘤,发病率低,以往文献报道 较少, 颅内生殖细胞瘤因病变的部位不同临床表现差异很 大,位于基底核区表现为锥体束或锥体外系症状,如偏侧肢 体活动受限,偏身感觉障碍、偏盲及言语不利等;以往研究往 往集中于其临床表现、发病机制及放疗、化疗治疗的影响口, 而对BGG所致的肢体功能障碍的康复报道较少,我们在肌 电图引导下对患者进行A型肉毒毒素(botulinum toxin type A,BTXA)注射并结合个体化的训练,在解决BGG所致 功能障碍方面做了一些探索。现报道如下。

1 病例资料

患者,男,9岁,患者于1年前无明显诱因下突然出现右 上肢不自主运动,控制障碍,之后患者从事持筷、持笔写字等 活动时受累,步行呈足内翻拇背伸步态,无口眼歪斜、无二便 失禁。前往当地医院就诊,诊断不明,后于多家医院就诊,未 明确诊断,患者症状逐渐加重,半年前于北京大学第一医院 确诊为"基底核生殖细胞瘤",予以行化疗1次,放疗2次(具 体不详),患者病情平稳后转入我院继续行康复治疗,患者白 天其他活动时不自主运动存在,而患者睡眠时消失,其临床 体格检查未有明显差异。患者未有服用其他精神类及多巴 胺类药物,患者也无相关家族史。患者右手肌张力障碍(握 持功能减退,手指呈不自主做背伸屈曲动作,为动态痉挛,其 中以手背伸为主,同时其肘关节呈伸直状态)、足内翻、纹状 体趾,其他神经系统检查无明显异常。

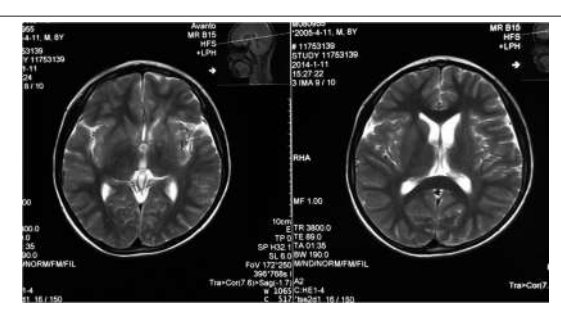
2 评估方法

头颅 MRI 左侧基底核及丘脑萎缩(图1)。与患者手、足 功能有关的评估:包括患者站立位姿势、1min用筷子夹豆子 数目、6min 最大步行距离及改良 Barthel 指数评估、Fugl-Meyer上肢运动功能评估等。结果如下:站立姿势下患者右 足拇背屈及足内翻明显,右手指及手掌呈不自主背屈,自主

DOI:10.3969/j.issn.1001-1242.2016.07.018

¹ 浙江大学医学院附属邵逸夫医院下沙院区康复医学科,杭州,310018 作者简介:叶晔,男,住院医师;收稿日期:2015-06-01

图1 头颅 MRI示: 左侧基底核及丘脑萎缩



活动下愈加明显。1min夹豆子数目为11个、6min步行距离为410m、改良Bathel指数评估为95分(扣分项目包括穿脱衣、进食需要部分辅助),Fugl-Meyer上肢运动功能57分(满分66分,均因手指功能功能障碍及协调性障碍扣8分)。

3 肌张力评估

肌张力评估参考国内外文献^[2-3]使用表面肌电图评估技术(surface electromyography,sEMG)进行评估。

仪器和材料: Mega ME6000型肌电图仪(芬兰 Mega 公司), Ag/Agcl电极, 导电区直径 10mm, 测试方法: 选用 Ag/Agcl电极记录sEMG信号, 电极位置为肱二、三头肌肌腹部, 右手前臂伸肌群、屈肌肌群肌腹, 与肌纤维呈平行放置, 电极直径为 0.5cm, 两电极的中心距离为 2cm, 参考电极置于两记录电极旁。嘱患者仰卧位, 取自然放松态, 检查者分别做患者右侧肘关节及腕关节被动运动, 同时运用 Mega ME6000型肌电图仪分别记录患者肘关节、腕关节被动状态下肱二、三头肌、前臂伸肌群、屈肌肌群的 sEMG信号。图 2—3。

4 治疗方法

常规手及足功能康复训练,包括患侧上肢主动辅助及主动训练、患侧上肢关节活动训练、患侧上肢取物训练及患侧手指抓握与打开的训练等。足部训练包括患侧肢体肌力训练、上下楼梯训练、步行训练等。主要以患侧训练为主,也包括少量健侧辅助患侧的训练。

肉毒毒素注射:选择肌张力增加明显的肌肉,在肌电及低频电刺激进行靶肌肉定位后,局部注射BTX-A冻干剂(BOTOX*:Allergan Inc., Irvine, CA),注射前用生理盐水稀释至100U/ml。注射按照《肉毒毒素治疗成人肢体肌痉挛中国指南(2010)》。。及欧洲共识。可建议的评估和治疗方法、剂量以及注射部位进行,具体如下抽取0.9%NS 3ml溶解300U肉毒素,定位右下肢内侧腓肠肌、外侧腓肠肌、比目鱼肌、胫骨后肌、海长伸肌,胫骨前肌,右上肢肱三头肌,桡侧腕屈肌、尺侧腕屈肌、掌长肌、指长伸肌、拇长伸肌,消毒、进针,在电刺激引导下,于上述肌肉分层多点各注射25U、25U、30U、50U、50U、20U、20U、20U、10U、10U、10U、25U、25U。注射后患者生命

体征平稳,嘱患者注射处间断冰敷,休息,24h伤口勿沾水。

5 结果

治疗后2、4周,患者整体行走姿势改善,踇背伸、内翻消失、右手掌指不自主背伸屈曲运动减少。患者治疗前及治疗后1天、2周、4周每分钟右手持筷子夹豆子数目、6min最大步行距离、改良Bathel指数评估治疗前及后2周、4周得分、Fugl-meyer上肢运动功能评分治疗前及后2周、4周得分,见表1。

治疗前及后2周、4周 sEMG测定患者肘、腕关节被动状态下原始肌电图信号,肌电信号逐渐降低,提示患者肌张力降低。见图2—3。

图中第2排sEMG信号与第4排sEMG信号为右手肘关节关节被动状态下原始肌电图特点,治疗前屈伸均可见大量异常信号,治疗后2周异常肌电信号减少,4周后异常肌电信号进一步减少。

图2 肘关节被动屈伸下sEMG信号

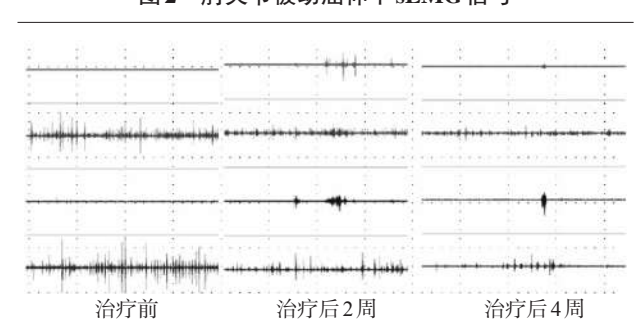
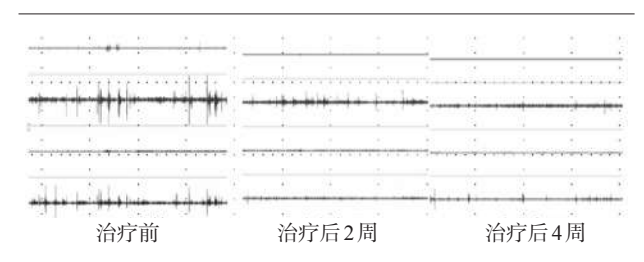


图3 腕关节被动屈伸下sEMG信号



图中第2排 sEMG信号与第4排 sEMG信号为右手腕关节被动状态下原始肌电图特点,治疗前屈伸均可见大量异常信号,治疗后2周异常肌电信号减少,4周后异常肌电信号进一步减少。

表1 治疗前后患者功能评估情况

 阶段	1min夹豆子 数目(个)	6min步行 距离(m)	改良Barthel 指数	Fugl-Meyer 上肢运动功能
治疗前	11	410	95	57
注射后1天	2	410	90	57
注射后2周	10	440	100	57
注射后4周	24	480	100	61

6 讨论

中枢神经系统生殖细胞肿瘤是常常位于松果体及下丘 脑区域的一种恶性肿瘤。其他不常见的区域包括基底核、丘 脑、中脑、第四脑室等[4]。本病好发于儿童及年轻人,因病变 的部位不同临床表现差异很大,位于基底核区其首发症状以 锥体束或锥体外系的症状为主,无性早熟和内分泌改变。早 期主要表现为一侧肢体进行性无力,行走不稳或肌张力高, 震颤、舞蹈样发作等典型基底核受损症状。本例患者呈右手 握持功能减退,手指呈不自主背伸屈曲,以背伸为主,同时其 肘关节呈伸直状态,右足内翻、拇背伸状态,其肿瘤主要在分 布于左侧基底核区如图1,其引起一侧肢体肌张力异常的原 因可能是由于生殖细胞瘤的质量效应,其病理生理机制尚不 清楚。

肉毒素注射前对患者进行充分的评估能够明确患者肌 张力障碍的特点并指导注射。sEMG是神经系统肌肉活动 时的生物电变化经表面电极引导、放大、显示、记录的一维电 压时间序列信号。sEMG就好比肌肉听诊器,能够很直观地 了解到肌肉活动时的动作电位[5],在痉挛领域已大量运用[6]。 本例研究中,采用sEMG测定患者被动状态下的sEMG特 点,分析肉毒毒素注射前的肘关节及腕关节周围肌群sEMG 信号,分析认为患者屈伸均可见异常肌电信号,其中肱三头 肌及腕背伸肌群肌电信号显著大于其拮抗肌,说明患者伸肌 痉挛明显,故肉毒素注射剂量集中于患者肱三头肌及腕背伸 肌。注射后2周、4周对比治疗前原始肌电信号逐渐减小如 图2、3,说明治疗后患者右手肌张力障碍减轻。

目前神经阻滯剂A型肉毒毒素对肌张力障碍的治疗疗 效已获得一致肯定;其机制是通过抑制神经末梢分泌乙酰胆 碱,从而迅速有效降低肌张力,具有见效快、选择性强、副作 用少等优点。大量研究证明针对痉挛肌肉的精确定位及科 学注射是影响A型肉毒毒素疗效的关键环节[7]。Chin等[8]认 为电刺激定位技术明显优于徒手定位技术。因此,此例患者 在肌电图定位基础上采用电极针进行电刺激引导。对于肌 张力障碍的治疗,BTX-A 注射只是其中一环。Desloovere^[9] 研究发现,注射后的治疗措施,如佩戴支具、物理治疗等,能 显著影响脑瘫患儿注射治疗的结局。所以应及时配合开展 个体化的综合性的康复训练,充分利用肌张力降低的时期, 使临床效果最大化[10]。该患者注射治疗完成后,我们对其进 行了针对性的手功能训练如夹豆子训练,球状抓握等,步态 训练为下肢肌力训练、步行姿势控制训练及上下楼梯训练 等,临床效果显著。

值得注意的是,本例患者肉毒素注射及4周康复训练

后,患者的右手肌张力及下肢肌张力障碍情况得到明显的改 善,患者的行走姿势发生明显改善,右手掌指不自主背伸、屈 曲情况减少。有研究指出,局部注射A型肉毒素可引起远隔 部位肌张力降低[11],究其原因可能是严重部位的肌张力障碍 缓解后,从而减轻了对其他部位的影响。综上所述,sEMG 评估技术评估患者肌肉痉挛具有动态客观的特点,能够实时 的反映患者肌肉痉挛的特点,对于指导临床治疗具有推广价 值,A型肉毒素毒素注射结合个体化康复训练治疗基底核生 殖细胞瘤所致肌张力障碍具有可行性,值得参考。

参考文献

- [1] Wong TT, Chen YW, Guo WY, et al. Germinoma involving the basal ganglia in children[J]. Childs Nerv Syst, 2008, 24 (1):71—78.
- [2] 中国康复医学会. 肉毒毒素治疗成人肢体肌痉挛中国指南 (2010)[J]. 中国康复医学杂志, 2010, 25(6): 595-620.
- [3] Wissel J, Ward AB, Erztgaard P, et al. European consensus table on the use of Botulinum toxin type A in adult spasticity[J].Rehabil Med, 2009, 41(1): 13-25.
- [4] KimJS1, HanSJ, KimW, et al. Focal hand dystonia secondary to Basal Ganglia germinoma[J]. J Clin Neurol, 2007, 3 (3):150—153.
- [5] Cram JR.The History of Surface Electromyography[J].Applied Psychophysiology and Biofeedback.2003,28(2):81-91.
- [6] Wenzong Zhu ,Guoqing Zheng,Gu Y,et al.Clinical efficacy and sEMG analysis of a new traditional Chinese medicine therapy in the treatment of spasticity following apoplectic hemiparalysis[J]. Acta Neurol Belg, 2014, 114(2):125—129.
- [7] 韩伯军, 洪珊珊, 陆敏智, 等. 肌电图联合电刺激引导注射肉 毒毒素治疗脑卒中后上肢痉挛的疗效观察[J]. 中华物理医学 与康复杂志, 2013, 35(9). 716-719.
- [8] Chin TY, Nattrass GR, Selber P, et al. Accuracy of intramuscular injection of botulinum toxin A in juvenile cerebral palsy: a comparison between manual needle placement and placement guided by electrical stimulation[J]. Pediatr Orthop, 2005, 25(3):286-291.
- [9] Desloovere K. Efficacy of botulinum toxin A treatment in children with cerebral palsy is defined by crucial factors within the treatment strategy[J]. Gait Posture, 2008, 28:S1—
- [10] 王志娇,肖农.A型肉毒毒素用于治疗痉挛型脑性瘫痪的临床 研究[J].中国康复医学杂志,2011,26(4):313—318.
- [11] 肖哲曼,董红娟,初红,等.局部注射A型肉毒毒素后远隔部位F 波的改变[J].中华物理医学与康复杂志,2004,26(3):172—175.